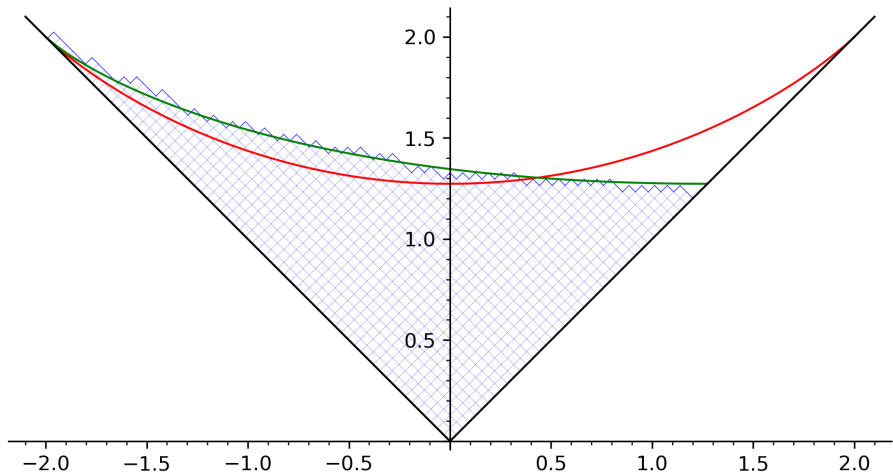
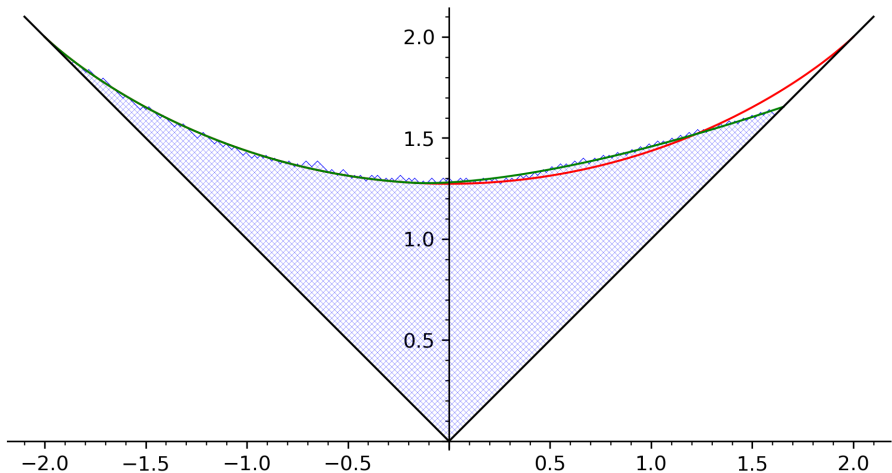


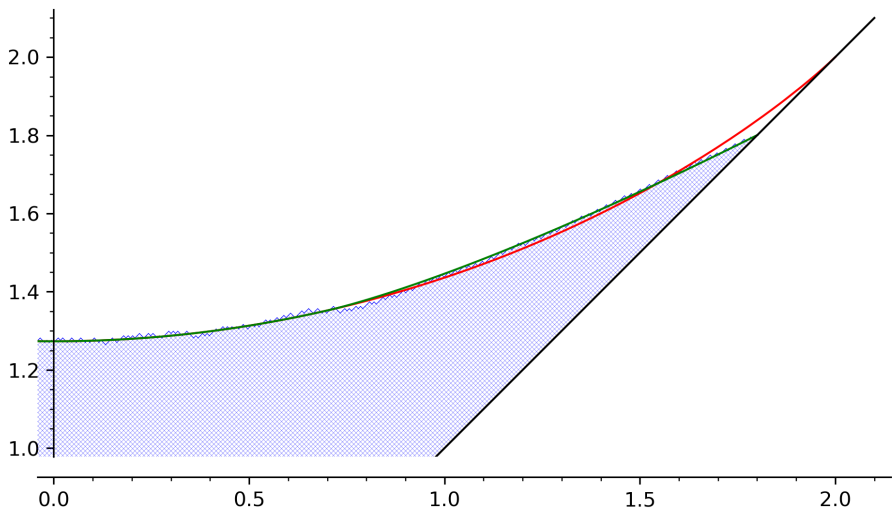
Forme limite d'un diagramme de Young  
tiré selon la mesure de Plancherel  $Pl_{1000}$



Forme limite  $\Omega_2$  (en vert) pour la 2-régularisation d'une partition tirée selon  $P_{1000}$ ; en rouge la forme limite  $\Omega$

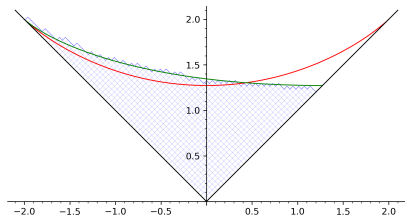


3-régularisation d'une partition tirée  
selon  $P_{15000}$  ; en rouge la forme limite  $\Omega$

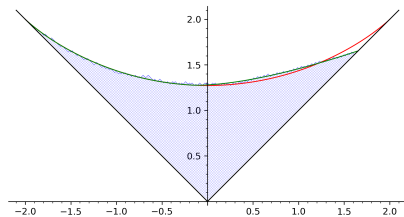


4-régularisation d'une partition tirée  
selon  $P_{30000}$  ; en rouge la forme limite  $\Omega$

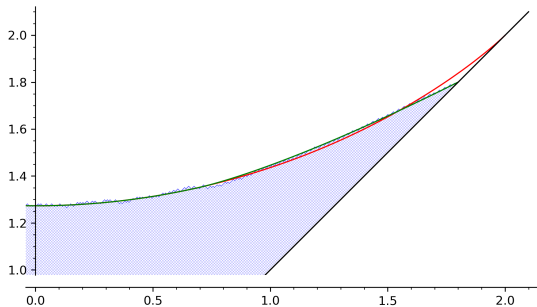
# Résumé des « régularisations »



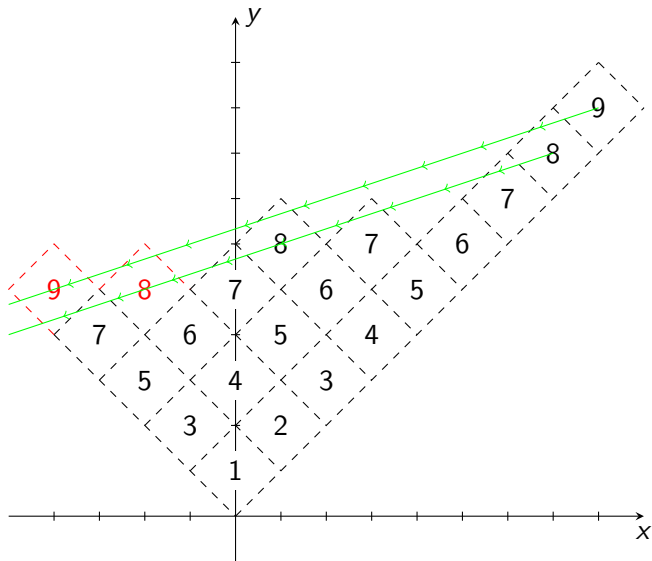
$e = 2$



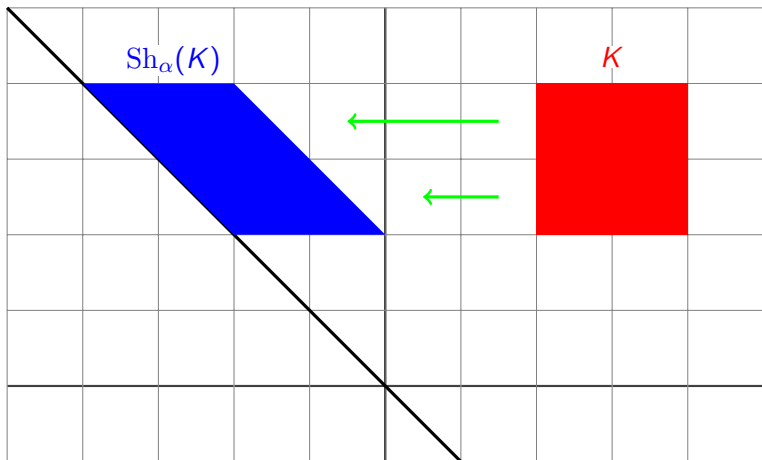
$e = 3$



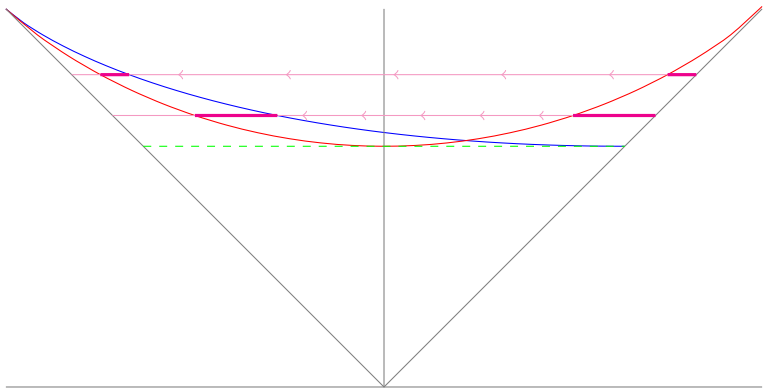
$e = 4$



Glissement des boîtes en convention russe  
pour la 3-régularisation de  $\lambda = (4, 3, 3, 3, 2, 1, 1, 1, 1)$

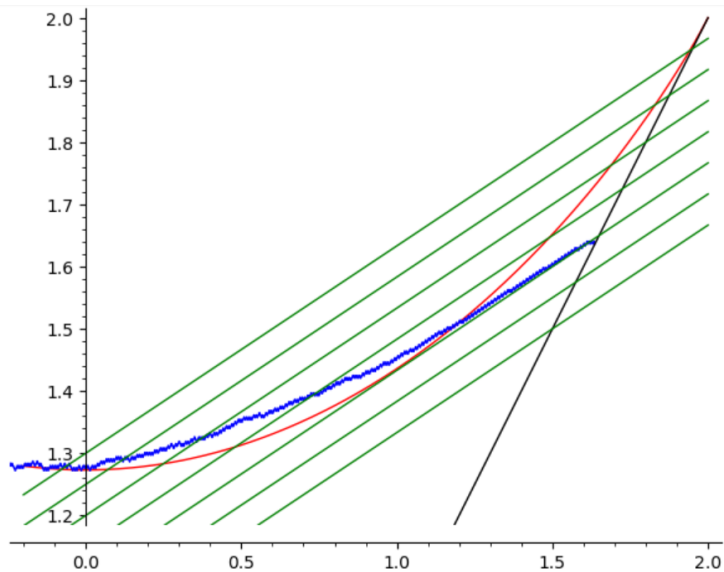


Exemple de secouage  $Sh_\alpha$  pour  $\alpha = 0$

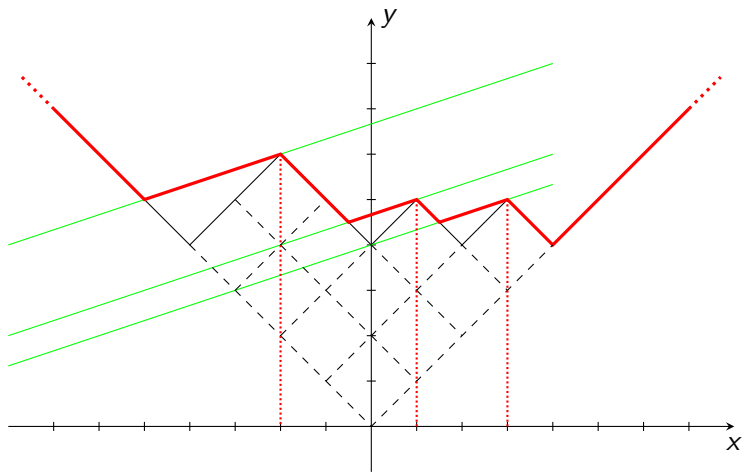


- Les formes  $\Omega_2$  (en bleu) et  $\Omega$  (en rouge).
- En vert la tangente à  $\Omega$  en 0.
- Les segments magentas de gauche sont ce qui est « ajouté » à la forme  $\Omega$ , et proviennent des segments magentas de droite via le secouage de  $\mathbb{Y}(\Omega)$ .





Secouage de  $\mathbb{Y}(\Omega)$  pour  $e = 3$ .



Partie stable par secouage pour  $e = 3$  et  $\lambda = (4, 4, 2, 1)$